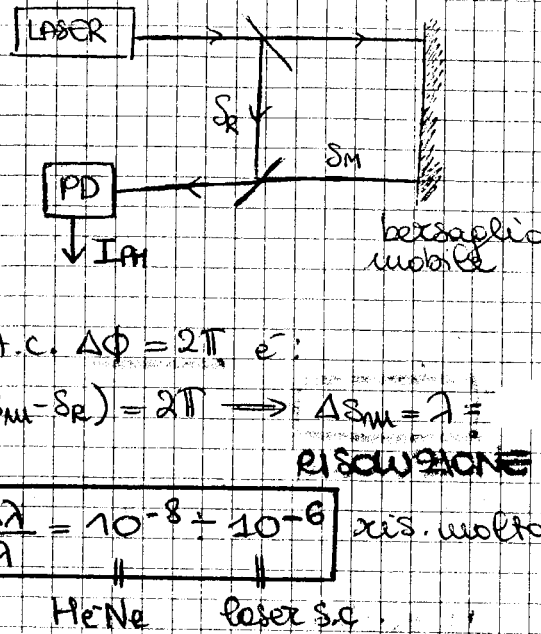


INTERFEROMETRIA: (I)

(20)



$$\Delta S_M + c \cdot \Delta \phi = 2\pi, \text{ e:}$$

$$\frac{2\pi}{\lambda} \cdot (S_M - S_R) = 2\pi \rightarrow \Delta S_M = \frac{\lambda}{2}$$

RISOLVACNE

$$\Rightarrow \frac{\Delta \lambda}{\lambda} = 10^{-8} \div 10^{-6} \quad \text{x.s. molto alto}$$

He-Ne
laser s.c.

• REGIME QUANTICO

$$\sigma_{IPH}^2 \gg \sigma_{IB}^2 + \sigma_{RL}^2$$

$$SNR^2 \approx \frac{2eIPhB}{IPh^2}$$

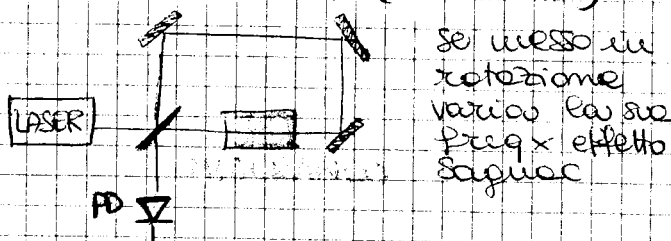
non dipende dalle prestazioni del rivelatore ma solo dal segnale.

• REGIME TERMICO

$$\sigma_{IPH}^2 \ll \sigma_{IB}^2 + \sigma_{RL}^2$$

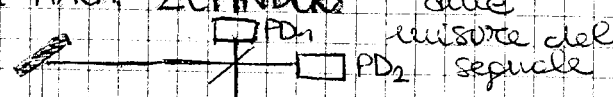
$$SNR^2 = \frac{IPh^2}{2eIBB + 4kTB_R}$$

• INTERF. di SAGINAC. (GIROSCOPIO)

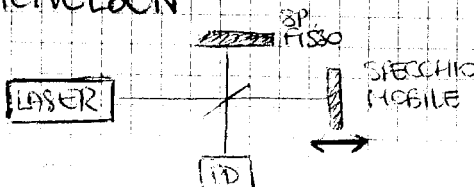


se messo in rotazione varia la sua freq x effetto Sagnac

• INTERF. di MACH-ZEHNDER



• MICHELSON



$S_M \rightarrow$ braccio di misura (m)

$S_R \rightarrow$ braccio di riferim. (m)

$$I_{PH} = \sigma |E_M + E_R|^2 = \sigma |E_M \exp(i\phi_M) + E_R \exp(i\phi_R)|^2 = I_M + I_R + 2\sqrt{I_M I_R} \cos(\phi_M - \phi_R)$$

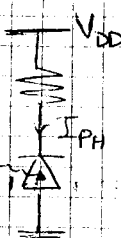
$$\begin{aligned} \phi_R &= K \cdot S_R \\ \phi_M &= K \cdot S_M \end{aligned} \Rightarrow \phi_M - \phi_R = K(S_M - S_R) = \frac{2\pi(S_M - S_R)}{\lambda}$$

BATTIMENTO TRA RIF. E CAMPO DA MISURARE

Contributi di rumore:

$$\left\{ \begin{array}{l} \sigma_{IPH}^2 = 2eIPhB \quad I_{PH} = \text{corrente fotogenerata} \\ \sigma_{IB}^2 = 2eIBB \quad IB = \text{corrente bianca} \\ \sigma_{RL}^2 = \frac{4kTB}{RL} \quad \text{x.m. per carico.} \end{array} \right.$$

$$\Rightarrow (SNR)^2 = \frac{IPh^2}{\text{somma tutti contributi}}$$



RIVELAZIONE COERENTE IN OMODINA:

si dimostra che, giocando col valore del campo di riferimento, si puo sempre garantire un transito nel regime quantico.

(PROPRIETÀ della RIV. COER OMODINA)

INTERFEROMETRO di MICHELSON

LASER He-Ne
 $R_1 = R_2 = 100\%$
 $P_{PD} = 0.5 \text{ A/W}$
BS = 50%
Power = 1mW

$$I_{PH} = I_M + I_R + 2\sqrt{I_M I_R} \cos(2K(S_m - S_r)) =$$

$$I_{PH} = I_0 (1 + \cos(2K(S_m - S_r)))$$

$$I_0 = 2I_M = 2I_R =$$

$$= \frac{1}{2} P$$

$$g = m \frac{e}{hv} = m \cdot e/t = \frac{\text{rate corrispondente}}{\text{rate totale}}$$

$m = \text{eff. quantitativo} \approx 1$

$$\Rightarrow g \approx \lambda [\mu\text{m}] \cdot \frac{1}{1.24} = g [\text{A}/\text{W}]$$

→ lo spostamento del bersaglio che corrisponde a una **FRANGIA INTERFEROMETRICA**

$$2K(S_m - S_r) = 2\pi \Rightarrow \Delta S_m = \lambda/2$$

I_{PH} → **FRANGIA** ($\lambda_{max} - \lambda_{min} - \lambda_{max}$)

per contare le frange **RANDIZZIO** e poi dividere



se conto solo le S positive ottengo il n° delle frange.

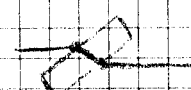
$$\text{ES: } \Delta S = \lambda/2$$

se riesco a contare anche le delta negative (conto le **MEZZE FRANGE**):

$$\text{ES: } \Delta S = \lambda/4.$$

PROBLEMI:

- retroriflessioni in cavità
- divisorio di luce deve essere solido (difficile posizionamento)



- forte sensibilità degli specchi ai disallineamenti angolari

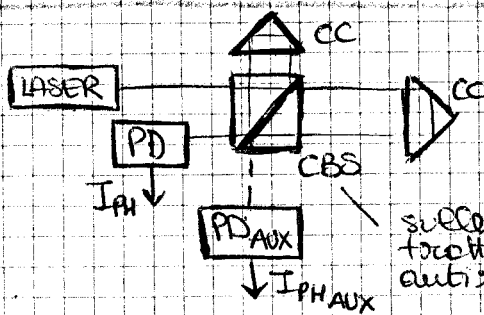
→ luce: la riga si allunga in cavità → perdite proprietà ottiche luce laser

→ più luce laser e uno spostamento più $\Delta S_m = S_m - S_r$ può essere misurato.



INTERFEROMETRO TWYMAN-GREEN

→ corrente con anche specchi.



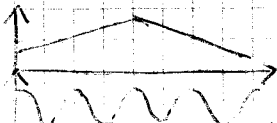
- insensibilità ai disallineamenti angolari
- assenza retroriflessioni
- CBS facile da posizionare e meno sensibile a vibrazioni.

sulla farce traccheto antiriflesso

→ AMBIGUITÀ sulla misura del VERSO di $S_m - S_r$ (c.c. di misura)

Se ΔS_m contiene un n° intero di mezza frange posso avere ambiguità:

$$2K\Delta S_m = M\pi \Leftrightarrow \Delta S_m = M\lambda/2$$



$$I_{PH} \approx 1 + \cos(2K(S_m - S_r))$$

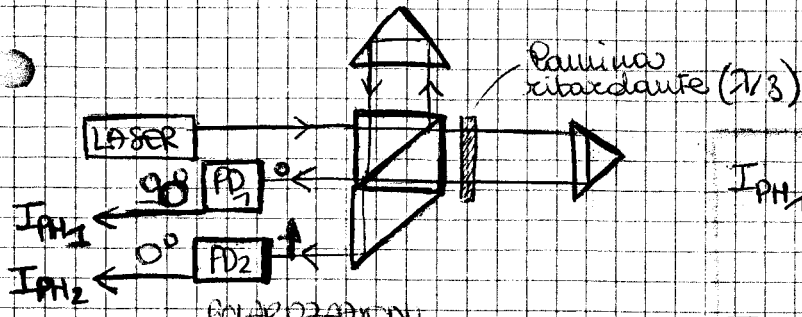
$$I_{PH,AUX} \approx 1 - \cos(2K(S_m - S_r))$$

→ SOLUZIONI!!

→ intere: è doppio effetto

→ metà: non è vero

INTERFEROMETRO A DOPPIO FASCIO → 2 CANALI EFFETTIVI : 2 SEGNALI IN QUADRATURE



I_{PH_1} e I_{PH_2} sono \sin e \cos :
risulti da discrivivore
di ampiezza (SOGLIA I_o)

→ ottengo A_c e A_s ($H \approx 0.3$)

Le derivate dei segnali
vergono discrivivute

→ ottengo S_c e S_s ($H \approx 0.1$)

$$I_{PH_1} = I_u + I_r + 2\sqrt{I_u I_r} \cos(2k(s_u - s_r)) = \\ = I_o (1 + \cos(2k(s_u - s_r))).$$

$$I_{PH_2} = I_u + I_r + 2\sqrt{I_u I_r} \cos[2k(s_u - s_r + \frac{\pi}{8})] = \\ = I_o (1 - \sin[2k(s_u - s_r)]).$$

$$I_o = 2I_u + 2I_r = \frac{1}{4} \rho P_L \frac{2\pi f}{\lambda} \frac{\pi}{3} = \frac{T}{2}$$

se li derivo ottengo delle S ;
raddoppio e ottengo 4 conteggi,
in ogni frangia

→ RISOLUZIONE 1/8

Lo spostamento Δs_u
aumenta se $V=1$ e
decrece se $V=0$

→ $V = A_s \oplus S_c + A_c \oplus S_s$ → commutatore UP-DOWN immagazzina
il valore dello spostamento in
ternum di 1/8.

- funziona bene in campo vicino (?)
- bandas: problema → non posso lavorare in continua:
facendo le derivate uso un filtro
passa alto che elimina basse freq e
eliminerebbe sicuramente anche la
continua.
- se l'oggetto si muove lentamente ho problemi.
- inverso in bandas base: le vibrazioni esterne spazzano il
segnale perché non so filtrarle (basta poco per indurre
una vibraz. di $1/8 \rightarrow$ TAVOLO OTICO)
- l'elettronica impone un limite alla VELOCITÀ di spostamento
del bersaglio.

$$B_{max} = B_{el} \Rightarrow \Delta t_{min} = \frac{1}{B_{el}} \Rightarrow V_{max} = \frac{1}{3} \cdot B_{el} \quad (0,3 \text{ m/s})$$

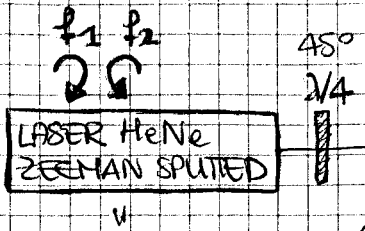
PROBLEMI:

- misura incrementale → se il fascio si interrompe perdo i conteggi e invalido la misura
- sensibile ai distorsioni elettromagnetiche
- sensibile ai vibratori ambientali
- difficile scegliere la soglia I_o dei commutatori.

RIMEDI:

- controlla su I_{PH_1} per dare dunque se interruzione fascio
- calibrazione iniziale per trovare un buon I_o (si trova spesso)

IN VETRERNO I SOI A L'ATTORE D'INTESA

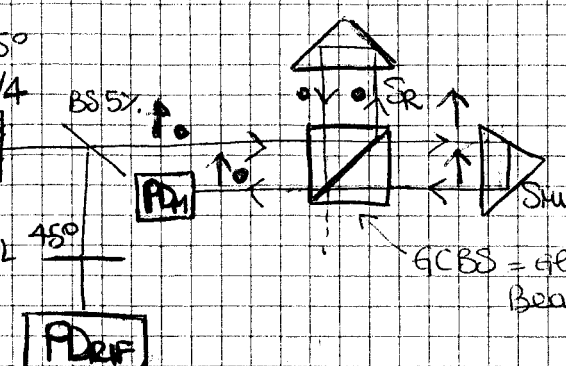


• applicav. induzione magnet. B
con la doppia frequenza.
Non conviene e poi

EFFETTO ZEEMAN si
generano due
(ODI POLARIZZATI)
IRCOALIMENTEE
retograzie: f_1 e f_2
 $\Delta f = f_1 + f_2$

$$\Delta f = f_1 - f_2 = 5 \text{ MHz}$$

Se S_m cresce la
frequ. aumenta e
ho più conteggi e
viceversa.



GCBS = Glan Cube Beam Splitter → tre slette con polarizzatore e ri-flette l'altra

→ su PDM c'è l'informazione
comparare come MODULAZIONE
DI FASE intorno alle freq.
 $f_2 - f_1 \approx 5 \text{ MHz}$

$$I_{PHR} = \frac{5}{100} I_0 [1 + \cos[2\pi(f_1 - f_2)t + \varphi]] \quad f \ll \omega \approx 5 \text{ MHz}$$

$$I_{PHM} = \frac{95}{100} I_0 [1 + \cos[2\pi(f_1 - f_2)t + 2KS_m - 2KS_R + \varphi]] = \\ = \frac{95}{100} I_0 [1 + \cos[2\pi(f_1 - f_2)t + 2KS_m + \varphi]]$$

$$T_b = \frac{1}{2} P_L \quad P_L = 2P_1 + 2P_2$$

Per recuperare Φ_m

- mix analogico I_{PHR} e I_{PHM} → crea freq. somma e diff.
posso uscire: ottengo $\cos(2\pi(S_m - S_r))$ e $\sin(\pi)$
INTERFEROM. A DCPIOFASCIO.

- conteggio di puls. degli attraversamenti di zero di I_{PHR} e I_{PHM}
che prendono pos. e sottrazione.

$$\dot{\Phi} = \frac{1}{2\pi} \frac{d\Phi}{dt}$$

CONTACORE:
(fa integrazione)

$$C_R = \int_0^T (f_1 - f_2) dt = (f_1 - f_2) T$$

$$C_M = \int_0^T [(f_1 - f_2) + \left(\frac{2K}{2\pi} \right) \frac{dS_m}{dt}] dt =$$

$$= \int_0^T [(f_1 - f_2) + 2 \frac{\Delta S_m}{T}] dt =$$

$$S = C_M - C_R = 2 \Delta S_m$$

$$(\Delta S_m = \text{spostam. tot. int})$$

$$\Delta S_m = N_{COUNT} \cdot \frac{1}{2}$$

$$C_M = (f_1 - f_2) T + \frac{2 \Delta S_m}{T}$$

→ RISOLV: $\frac{1}{2}$ o $\frac{1}{4}$ se conto anche attraversamenti di zero di
puls. negativi (regola di int a 2 fasi)



VANTAGGI:

- segnali posti su zero: si può eliminare componente DC.
- reazione ai disturbi di magnetici migliore attorno a 5 MHz
- insensibile a onde e.m.
- facile riconoscere interruzione fascio: riferire. rimane su 5 MHz e segnale di misura diventa continuo.

MIGLIORAMENTO RISOLUZIONE:

mix elettronico di I_{PFR} e I_{PFM} con OSCILLATORE LOCALE f_O:

$$\Delta f = (f_1 - f_2) - f_{IF} \text{ con } f_{IF} = 10 \div 100 \text{ KHz}$$

→ misura di fase su altezze s.s. sul segnale di f_{IF}.

→ suddividendo l'angolo di 2π in 100 intervalli → $RIS = \frac{\lambda}{2000}$

$$(\beta_1 - \beta_2)/f_{IF}$$

ESTENSIONI

- misure su 3 assi per posizionamento macchine utensili
- misure di PLANARITÀ:

Hack - FeRuder: errore di α → variaz. cammino ottico - $\Delta \alpha$

RISOLUZIONE ANGOLARE (per 1 frangia):

$$\Delta s = \lambda/2 \rightarrow \Delta \alpha = \frac{\lambda}{2} \cdot \frac{1}{2L} = \frac{\lambda}{4L}$$

$$\Delta s = \lambda/4 \rightarrow \Delta \alpha = \frac{\lambda}{4L}$$

- misure di ANGOLI RETTI:

RISOLV = prec. per misure di planarità
errore legato all'errore del prisma.

Se L = 0,1 m

$$\Delta s = \lambda/2 \Rightarrow \Delta \alpha = 106 \cdot 10^{-6} \text{ rad}$$

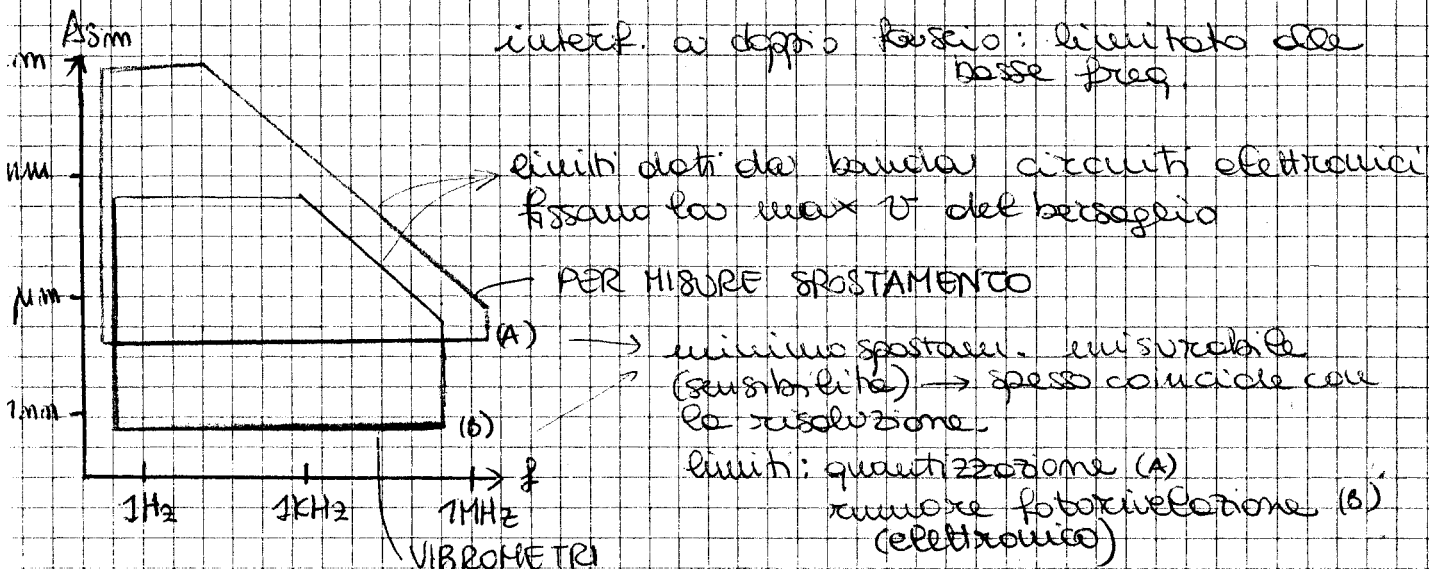
$$\Delta s = \lambda/4 \Rightarrow \Delta \alpha = 0,8 \cdot 10^{-6} \text{ rad}$$

INTERFEROMETRIA (II)

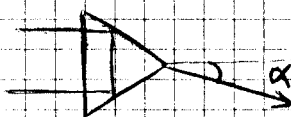
• LIMITI ALLE PRESTAZIONI DI MISURA DI UN INTERFEROMETRO:

- quanto andare lontani
- quanto andare veloci

• LIMITAZIONI NEL PIANO SPOSTAMENTO - FREQUENZA



• ERREUR DEL COERENZO



$$I_{PH} = I_0 (1 + V \cos[2K \Delta sm])$$

Δsm : cammino misurato effettivamente.
 $2K \Delta sm \cdot \cos \alpha$ → errore di allineamento.
 \Rightarrow errore sistematico sulla risoluzione.
 (di sottrazione)

• COERENZA TEMPORALE E VISIBILITÀ FRANGE

LASER: salti di fase casuali mediamente ogni T_c

$$T_c = \text{TEMPO DI COERENZA} \approx T_c \propto \frac{1}{\Delta v} \quad \Delta v = \text{FWHM dello spettro ottico}$$

$$L_c = c \cdot T_c \quad \text{LUNG. DI COERENZA}$$

$$L_c \approx \lambda^2 / \Delta v$$

$$\Delta v = \frac{1}{\pi T_c} \quad \text{LARGHEZZA RIGA DI EMISSIONE}$$



$L_c = 300 \text{ m}$ (HeNe)	$T_c = 1 \text{ ms}$
30 m (SC buono)	$T_c = 0,1 \mu\text{s}$
$1,5 \text{ m}$ (SC scarso)	$T_c = 5 \text{ ms}$

\Rightarrow se $L_c \ll |sm - sx| \Rightarrow$ non ho segnale interferometrico ma solo rumore

\Rightarrow se riga coerenziana,

$$I_{PH} = I_0 (1 + V \cos[2K(sm - sx)])$$

$0 < V < 1$ = VISIBILITÀ FRANGE

se sinusoidale lungo $V = \exp[-\Delta sm / L_c]$

def. operativa $V = \frac{I_{PH \max} - I_{PH \min}}{I_{PH \max} + I_{PH \min}}$

se $V = 0$ ho solo segnale continuo quindi non ho interferometria

⇒ NED: noise equivalent displacement: (NED di FASE)

min. distanza misurabile tenendo conto che viaser colibro.

- $\Delta v \neq 0$: $v(t)_{\text{flette}} \Rightarrow v(t) = v_0 + \Delta v$

- anche la fase INTERFEROMETRICA fluttua nel tempo:

$$\Phi(t) = 2K(S_{\text{M}} - S_{\text{R}}) = \frac{4\pi}{\lambda} (S_{\text{M}} - S_{\text{R}}) = \frac{4\pi}{c} v (S_{\text{M}} - S_{\text{R}}) = \frac{4\pi}{c} (S_{\text{M}} - S_{\text{R}}) (v_0 + \Delta v(t)) =$$

$$\Phi(t) = \Phi_0 + \Delta\Phi(t) = \frac{4\pi}{c} (S_{\text{M}} - S_{\text{R}}) (v_0 + \Delta v(t))$$

$$\Rightarrow \Delta\Phi = \frac{4\pi}{c} (S_{\text{M}} - S_{\text{R}}) \Delta v \cdot \frac{v_0}{v_0} = \frac{4\pi}{\lambda_0} (S_{\text{M}} - S_{\text{R}}) \frac{\Delta v}{\lambda_0}$$

RUMORE DI FASE

$$\Rightarrow \Delta s = \frac{\Delta\Phi}{2\pi} = (S_{\text{M}} - S_{\text{R}}) \frac{\Delta v}{v_0} = \frac{\lambda_0}{\pi} \frac{(S_{\text{M}} - S_{\text{R}})}{L_c}$$

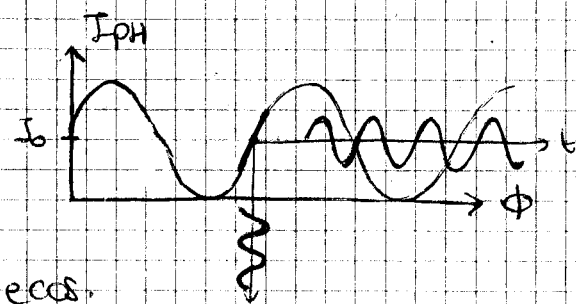
NED DI FASE

(NED = 0 se $S_{\text{M}} = S_{\text{R}}$)

• RUMORE QUANTICO

Se applicando il segnale v ,
l'interferometro è l'interferometro permette di misurare
 $\Delta s \ll \lambda$ → segnale interferometrico $\propto S_{\text{M}}$

sfrutta parte lineare del S_{M} ecc.



Più piccolo spostamento misurabile dipende dall'entità del rumore sovrapposto al segnale di fotocorrente:
NED QUANTICO (fatta eccezione per le NED DI FASE)

Schemico interferometrico → Parole sempre in REGIME QUANTICO: $\rightarrow \text{SNR}^2 = \frac{I_S^2}{I_M^2}$ e $I_M^2 = 2eB(I_{PH} + I_B) + 4kT_B B \approx 2eB I_{PH} = \text{RUMORE}$

scelgo cammino di riferimento in modo t.c.

$$I_S = I_0 (1 + V \cos(2K S_{\text{M}} - 2K S_{\text{R}})) \Rightarrow I_S = I_0 (1 + V \sin(2K S_{\text{M}}))$$

$$I_S \approx I_0 V 2K S_{\text{M}} \quad \text{se } S_{\text{M}} \ll \lambda/2$$

CORRENTE DI SEGNALE IN CONDIZIONE DI MAX SENSIBILITÀ DELL'INTERFEROMETRO

NED QUANTICO: impongo $\text{SNR} = 1$

$$\Rightarrow \frac{2eB I_B}{4I_0^2 V^2 K^2} = S_{\text{M}}^2 \Rightarrow S_{\text{M}} = \sqrt{\frac{B R v}{2 P_m}} \cdot \frac{\lambda}{2\pi V} \Rightarrow \Phi_u = 2K \cdot \text{NED} = \frac{1}{V} \cdot \sqrt{\frac{B R v \cdot 2}{P_m}}$$

NED QUANTICO

se $S_R \neq S_M \Rightarrow$ la sensibilità è sempre limitata da NED DI FASE

se $S_R = S_M \Rightarrow$ INTERFEROMETRO si dice BILANCIAO

RUMORE QUANTICO DI FASE EQUIVALENTE

$$P = 1 \text{ mW}$$

$$\lambda = 1 \text{ Hz}$$

$$f_u = 10^{-5} \text{ rad}$$

$$S_{\text{M}} = 1 \text{ fm}$$

• COERENZA SPAZIALE E EFFETTI DI POLARIZZAZIONE

- richiede $E_M(x,y) = E_R(x,y)$ = eguale distribuz. trasversale

$$M_{sp} = \int_A E_M(x,y) E_R^*(x,y) dx dy$$

$$\left(\int_A |E_M(x,y)|^2 dx dy \cdot \int_A |E_R(x,y)|^2 dx dy \right)^{1/2}$$

FATTORE DI COER.
SPAZIALE

$$M_{sp} \approx 1$$

sse distribuz.
di simpati
modi e uguali.

se molti modi (N) \rightarrow i M_{sp} contribui solo a
solo modi omologhi e
 $M_{sp} \leq 1/N$

- richiede E_M e E_R con = stato di polarizzazione (lin, circ, ellittico)

$$\mu_{pol} = \frac{|E_M \circ E_R|}{|E_M| \cdot |E_R|}$$

FATTORE DI
POLARIZZAZIONE

$$\Rightarrow V = M_{sp} \cdot \mu_{pol} \cdot \exp(-\Delta L / L_c)$$

VISIBILITÀ $\Delta L = \Delta S_M$

• DISPERSIONE DEL NEON

dovuta a variaz. di m
 → interferometro fa conteggi con valori
 M_{aria} .

→ molto bene misurato (8 cifre dec.)

condiz. std.

$$T = 15^\circ C$$

$$P = 760 \text{ mbar}$$

$$1 \text{ mbar} = 10^2 \text{ N/m}^2$$

$$(M_{aria} - 1) = 0,000280$$

$$(\lambda = 632,8 \text{ nm}) \leftarrow \text{He-Ne}$$

$$(M_{aria} - 1) \propto \frac{\text{m°moli}}{\text{volume}}$$

$$PV = mRT \Rightarrow \frac{m}{V} = \frac{P}{RT}$$

$$\frac{d(M_{aria} - 1)}{dT} = -(M_{aria} - 1) \left(\frac{283}{T^2} \right) \approx -1 \text{ ppm/}^\circ C$$

$$10^\circ C \rightarrow 5^\circ \text{ decinde}$$

$$10 \text{ mbar} \rightarrow 6^\circ \text{ decinde}$$

$$\frac{d(M_{aria} - 1)}{dp} = -(M_{aria} - 1) (1/760) \approx +0,36 \text{ ppm/mbar}$$

\rightarrow per avere precisione migliore di 10^{-6} servono sensori di T e P per correzioni alla p dell'interferometro.

• SPECKLE PATTERN \rightarrow non è sempre possibile avere bypassaggio cooperativo.

24

L'fenomeno riguardante

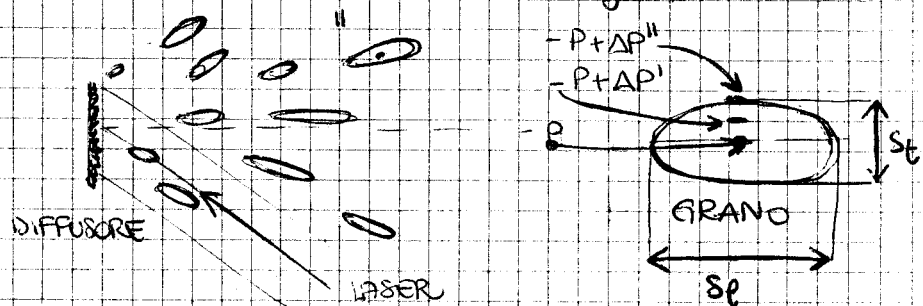
superficie diffondente colpita da luce coerente:
IMMAGINE GRANULOSA DELLA LUCE RETRODIFFUSA.

SPECKLES = punti o piccole macchie scure rotanti

specchio rugoso $\ll \lambda$ (variazioni casuali di quota)

lucido: rugosità $> \lambda \rightarrow$ ogni punto del lucido avrà una serie di contributi di fase e controfase \rightarrow SUPERFICIE DIFFONDENTE ricopre il campo di distribuzione

DEF. speckle: individuale, tutta la regione di spazio in cui la correlazione del campo rispetto a P è superiore al 0,5.



f.m. DENSITÀ DI PROBABILITÀ

L'INTENSITÀ che descrive l'intensità dello SPECKLE è una f.m. continua che varia come un exp negativo.

$$p(J) = \frac{1}{J_M} \exp\left(-\frac{J}{J_M}\right) \quad J_M = \text{intensità media}$$

$$P(J < J_M) = P(J \leq J_M) = \int_0^{J_M} \frac{1}{J_M} \exp\left(-\frac{J}{J_M}\right) dJ = \frac{1}{J_M} \left(-J_M \exp\left(-\frac{J}{J_M}\right)\right) \Big|_0^{J_M} = 1 - \exp(-1) = 63,2\%$$

$P(J < J_M) = 1 - \exp(-1) = 63,2\% \Rightarrow$ probabilità di presenza di speckle poco intensi più probabile di presenza speckle brillanti.

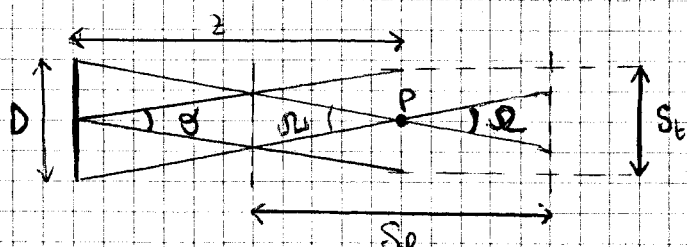
dimensioni speckle lungo e trasv. \rightarrow sono var. statistiche:

D = diam. diffusore

proiezione delle dimens. degli speckle fuori asse = speckle in esse.

$$S_t = \lambda^2 / D$$

$$S_p = \lambda (2\pi/D)^2 \quad S_p \gg S_t$$



$$\Omega = A \cdot \Omega_0 = \lambda^2 \quad \text{ACCETTANZA}$$

$$\begin{aligned} \Omega_0 &= A \cdot \Omega_0 \\ \Omega_0 &= \frac{(D/2)^2}{\lambda^2} \quad \left\{ \begin{array}{l} \text{qui } S_t \text{ come raggio} \\ \text{del cerchio} \end{array} \right. \\ A &= \pi S_t^2 \end{aligned}$$

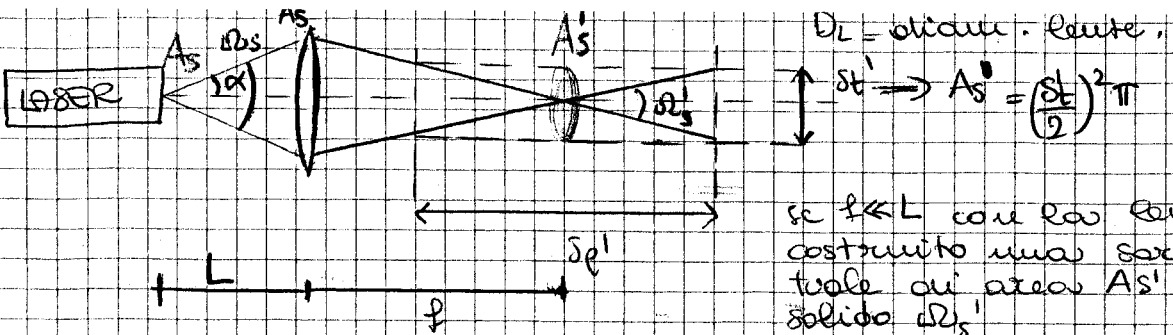
qui S_t come raggio del cerchio

$$S_t = \frac{\pi S_t^2 \cdot D^2}{4 \cdot 4 \lambda^2} = \lambda^2$$

$$S_t = \frac{4 \lambda^2}{\pi D} \approx \frac{\lambda^2}{D}$$

il fascio di raggi che sottende Ω_0 si mantiene trasversalmente più piccolo di S_t per una fetta di

$$S_p = \frac{S_t}{\Omega_0} = \frac{S_t}{D/2} = \frac{S_t \lambda^2}{\pi D^2} \approx \frac{4 \lambda^2}{D^2}$$



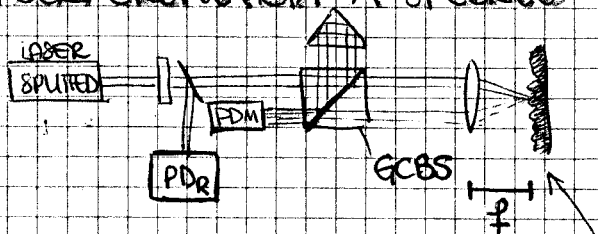
$$D_L = \text{diam. fonte}, \quad \Delta s' \rightarrow A_s' = \left(\frac{\Delta s'}{2}\right)^2 \pi$$

se $\ell \ll L$ con la fonte ho costruito una sorgente virtuale di area A_s' e angolo solido $\Delta\theta_s'$

$$\Rightarrow \frac{A_s'}{A_s} = \frac{\ell^2}{L^2}$$

$$\Delta\theta_s' = \frac{\pi D_L^2}{4} \cdot \frac{1}{L^2} \quad \Delta\theta_s' = \frac{L^2}{\ell^2} \quad \left\{ \begin{array}{l} a_s' = a_s \\ = \end{array} \right.$$

INTERFEROMETRIA A SPECKLE - PATTERN



w_L = largh. macchia laser

D, ℓ = diam. e focale fonte

tra uno specchio e l'altro ho errori casuali di fase più un spostamento sono grandi gli errori → per un'analisi periodica avere molti speckle non va bene.

$$NED_{SP} \approx \frac{\lambda}{w_L} \cdot \frac{\Delta s}{\Delta s}$$

$$\frac{D}{2} = \frac{\lambda}{2\pi N_A}$$

$$N_{Aeff} = \sqrt{\frac{D}{2}/F}$$

$$D/2 = \frac{\lambda F}{\pi w_L} \Rightarrow D = \frac{2\lambda F}{\pi w_L}$$

$$S_t = \frac{\lambda F}{D} = \frac{\pi w_L}{2}$$

$$Sp = \frac{\lambda F^2}{D} = \frac{\lambda \Delta F}{N_A}$$

ERRORE:

- EFFETTI INTENSITÀ: speckle poco intenso → fading del segnale interferometrico

→ D piccolo per avere meno speckle più grandi

→ duplico sensori per ridurre probabilità perdita segnale

→ traslare trasversalmente p.t.o di misura sul bersaglio per uniformare distribuzione speckle per uniformare suo intenso sul fotodet.

(BRIGHT SPECKLE TRACKING)

- EFFETTO DI FASE → errore di fase dentro ogni speckle

→ molti si misurano con accuratezza spostamenti aiuti del bersaglio → Δs_m piccoli VIBROMETRIA

INTERFEROMETRIA (III)

ESPI: ELECTRONIC SPECKLE PATTERN INTERFEROMETRY

misure interferometriche a SINCOLO PUNTO:

dimensioni limitate alla dimensione longitudinale dello speckle:

$$\Delta s_m < S_p$$

SINCOLO SPECKLE

può essere un canale di misura INTERFEROMETRICO

misure interferometriche ad IMMAGINE

speckle come pixel in un sistema.

PROBLEMA: possedendo due uno speckle dell'altro si PERDE

CORRISPONDENZA SPAZIALE: i vari speckle hanno fasi SCORRELATE TRA DI LORO

→ IMMAGINE INTERFEROMETRICA MOLTO RUMOROSA

oggetto illuminato da luce laser e osservato da un SISTEMA DI VISIONE A IMMAGINE

oggetto riflette parte delle luce incidente in forma di speckle, questa interfrisce con le frange di riferimento ottenute grazie al BS.

immagine singola: non contiene info.

molte piccole di speckle: ciò può essere usato come canale di misura interferometrico.

→ MISURE DI SPOSTAMENTI DEL BERSAGLIO < NED_{speckle} (dimes. lung. speckle)

PRINCIPIO DI MISURA:

TELESCOPIO

He-Ne

PIN HOLE

LENSE DI ILLUMINAZIONE OGGETTO

LENSE DI RACCOLTA

SISTEMA DI LETTURA IMM.

DISPLAY

PIANO IMMAGINE

FILTO DI INTERFERENZA

misure di VIBRAZIONI e DETERMINAZIONI mediante CONFRONTO DI IMMAGINI IN SEQUENZA.

in corrispondenza di uno spostamento su ogni speckle si ha un'INTERFERENZA

si vedono le frange interferometriche (analogo di interf. o frange)

(tante più frange quanto maggiore è l'entità del movimento)

• TECNICA TIME AVERAGING (SEMPLICE IMPLEMENTAZIONE)

BERSAGLIO VIBRAZIONE → anche rilevare le deformazioni

SEGNALE RIVELATO viene FILTRATO (media su n pixel)

• NODI (punti fermi) → SPECKLE INVARIATI → regioni intense

• ANTI-NODI (punti di massima escursione) → SPECKLE VARIANO → regioni scure PERIODICAMENTE

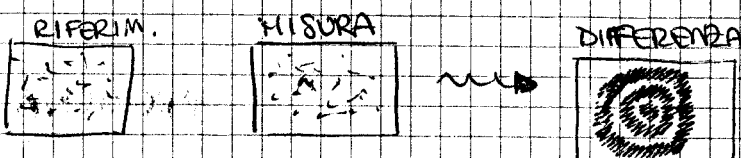
→ EVIDENZA NODI DI OSCILLAZIONE DI UN OGGETTO ma non da info quantitativa: sono solo dei precisi quanti che l'oggetto si muove;

si misura la posizione dei nodi ma non quelle precise degli anticidi (sono troppo scure!)

→ si ricava il profilo bidimensionale dei nodi → si calcola

• TECNICA FRAME-SUBTRACTION

- confronto:
- immagine di riferimento (oggetto in perturbato)
 - immagine di misura (deformazione statica dell'oggetto)
- ⇒ sottraendole pixel a pixel si vedono variazioni di intensità interfrangevoli che di ogni speckle (distanza minima $\Delta s_m < s_p$)
- **PROFILO DI INTERFERENZA A FRANGE** (n_f frangia = 7/2)



SCHEMA DI MISURA → serve memorizzare l'immagine + algoritmo di sottrazione.

- video recorder + sottrazione elettronica (1970)
- frame grabber + computer + elaboratore sottraz. (OASI)

→ per misure di deformazioni statiche

→ per misure di vibrazioni dinamiche
(sottraz. in tempo reale o ai posteriori)

- foto → corrisponde a un istante temporale

- distanza tra frange dovuto sul gradiente della velocità

→ quindi **VALUTO L'AMPISSA DELLE VIBRAZIONI**

- $\Delta s_m < s_p$

così è difficile capire il verso dello spostamento (dato da ampiezza della frange $\cos \Phi$)

UNWRAP delle frange → si ricava un profilo di ~~ampiezza~~ **UNIVOCO**.

- software: si risolve un problema di Cauchy con le condizioni di contorno opportune.

- hardware: una seconda acquisizione si fa con BS shiftato di $1/16$ → le frange si spostano di $1/8 \Leftrightarrow \pi/2$ (segno di $\sin \Phi$)

⇒ dispositivo di segnali $\cos \Phi$ e $\sin \Phi$:
può ricavare Φ univocamente.

APPPLICAZIONI:

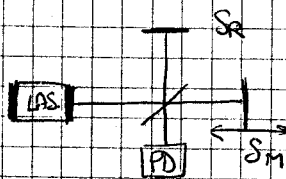
- evidenzia difetti strutturali o rettangoli inerti del
- misura profilo di frange dati dalla proiezione del fascio su un mezzo trasparente con densità non uniforme (es. profilo distribuzione termica).

INTERFEROMETRIA (IV)

(26)

SCHEMI DI LETTURA

• CONFIG. ESTERNA:



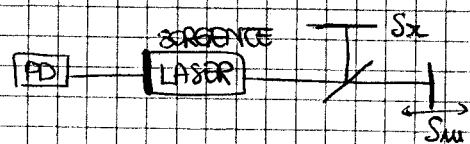
- più usato

- interf. esterno al cavito laser

- lettura della fase mediante l'intensità

• CONFIG. INTERNA:

"
GIROSCOPIO RING LASER
GYRO (RLG)



- interf. interno allo cavito laser.

- Laser BIMODALE: uno sostenuto da S_x e l'altro da S_d (spostando S_d cambia la freq. del modo 2).

- PD: vede battimento fra i due modi:

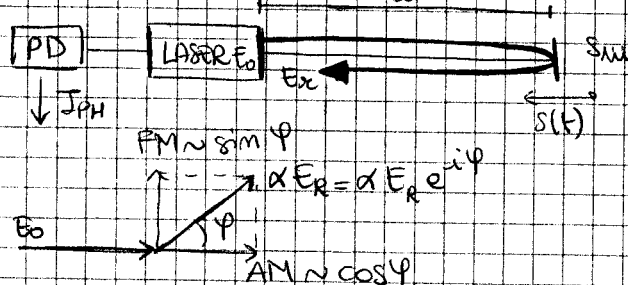
$$\Delta \phi \approx \frac{c}{2L} \cdot \frac{\Delta s}{\lambda/2}$$

- lettura del cammino ottico $\phi = 2ks$ avviene attraverso la FREQUENZA

- $s_{max} = \lambda/2$ limite su spost. per non avere ambiguità

- $K = \frac{\Delta \phi}{\Delta s} = \frac{c}{2L} \Rightarrow$ ELEVATA SENSIBILITÀ

• CONFIG. A RETRO INIEZIONE. MODULAZ. INDUTTA o SELF MIXING



E_R reiniettato nel cavito e interferisce coerentemente con E_0 il perturbato presente nel cavito.

→ Schema di RIN. COERENTE ELEVATA SENSIBILITÀ REGIME QUANTICO

→ E_R emesso dalla sorg. è MODULATO in AMPIZZA e FREQUENZA

$$I_{PH} = I_0 (1 + m_{AM}) \cos [(1 + m_{FM}) \omega t]$$

$$\psi = 2ks = 2k(s_0 + s(t))$$

$$m_{AM} = A \cos(2ks)$$

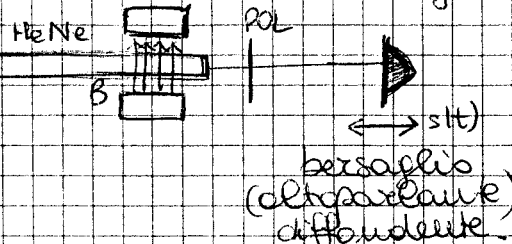
→ 2 canali di misura in quadratura sovraposti alla stessa portata:

si ricava il verso dello spostamento SENZA AMBIGUITÀ

$$m_{FM} = B \sin(2ks)$$

NUTRI A KUMLUNZIUMI METINE ALMAN

B transversale all'asse delle sorgenti. \rightarrow EFFETTO ZEEMAN TRASVERSALE
oscillazione modi con pol.



$$- \epsilon \text{ freq} = v_1 - v_2 = 100 \text{ kHz}$$

- un modo bloccato dal polarizzazione su cavità (v_1)

- un modo lucido sul bersaglio e viene trasmesso in cavità (v_2)

$\rightarrow v_2$ modulato per effetto della retro-azione.

Su PD: battimento tra i modi

$$J_{RF} = J_0 (1 + M_{AM}) \cos [2\pi(v_1 - v_2)t + M_{FM}]$$

$$v_1 - v_2 = \text{PORTANTE}$$

v_1 : RIFERIMENTO (sostituisce braccio SR)

\rightarrow 2 modi intrisiamente in quadratura \Rightarrow NO AMBIGUITÀ

INTERF. A RETRO-INTESA LASER SC

\rightarrow compatto, efficiente, poco costoso.



EQ. LANG e KOBAYASHI

β = parametro retroint.

$T = 2\pi\alpha = \text{ritorno triplo}$
 α = cavità esterna

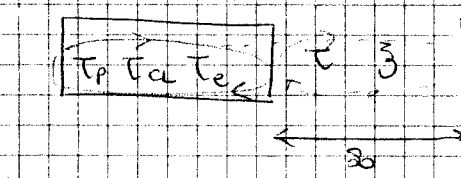
$$WT = 2\text{Ks}$$

$$J_{RF} = J_0 (1 + m_f(2\text{Ks}))$$

fusione periodica
(2π) che dà tra
 $-1 \leftrightarrow 1$.

α = fattore allargamento
di xiga

R_L = rifl. laser



- non si può fare un clicco laser nuovo modo
a lavorare su 2 modi

- il ritorno FM non può
essere estratto: esiste chia-
stura stabile x rivelat.
eterodinamico (con un altro
laser)

$\Rightarrow f(2\text{Ks})$ dipende da β
attraverso il parametro C :

$$C = \beta \frac{S_0 \sqrt{1+\alpha^2}}{L_1 M_1} = \beta \sqrt{R_{ext}} \cdot \frac{S_0 \sqrt{1+\alpha^2}}{L_1 M_1} \frac{1-R_L}{R_L}$$

$\Rightarrow f$ dipende da:

- parametro laser

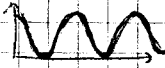
- distanza bersaglio

- riflettività bersaglio

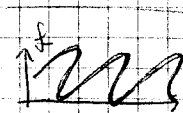
REGIMI RETROINIEZIONE

$$f(2\text{Ks})$$

$0 < C < 0,1$ MOLTO DEBOLE



$0,1 < C < 1$ DEBOLE



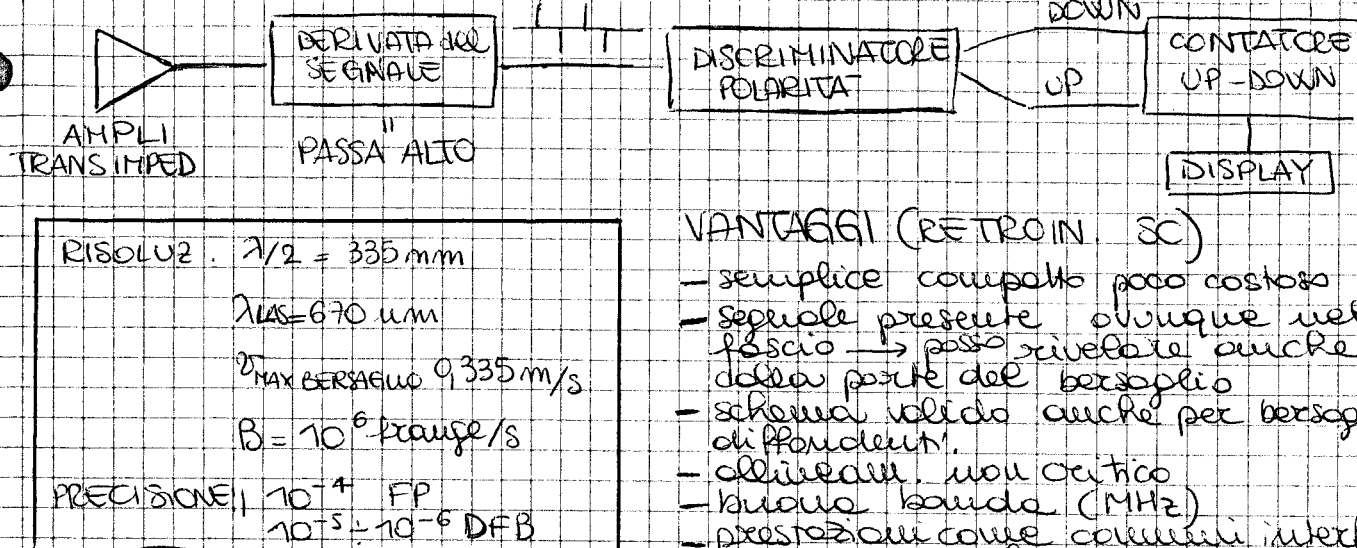
$1 < C < 4,6$ MODERATA

FORTE

\Rightarrow si ottiene facilmente su berso-
glia coop. ma anche non
coop

Schemi elettronici

27



VANTAGGI (RETROIN. SC)

- semplice complesso poco costoso
- semplice presenza ovunque nel fascio \rightarrow passo rivelatore anche dalla parte del bersaglio
- schema valido anche per bersagli diffondenti.
- ottico, non critico
- buone bande (MHz)
- prestazioni come contatori interi, stroboscopi, anche come vibro-metri o misuratori di spostamenti.

SVANTAGGI:

- tenuta meno stabile
- controllo frequenz. necessario
- alimentatori laser con limitata durata, della corrente di polarizzazione

BERSAGLIO FERMO: \rightarrow misura distanza assoluta!

$$2ks = 2k(s_0 + s(t)) = 2ks_0 = \text{cost}$$

λ emessa (λ_{LASER}) dipende dalla corrente di polar.

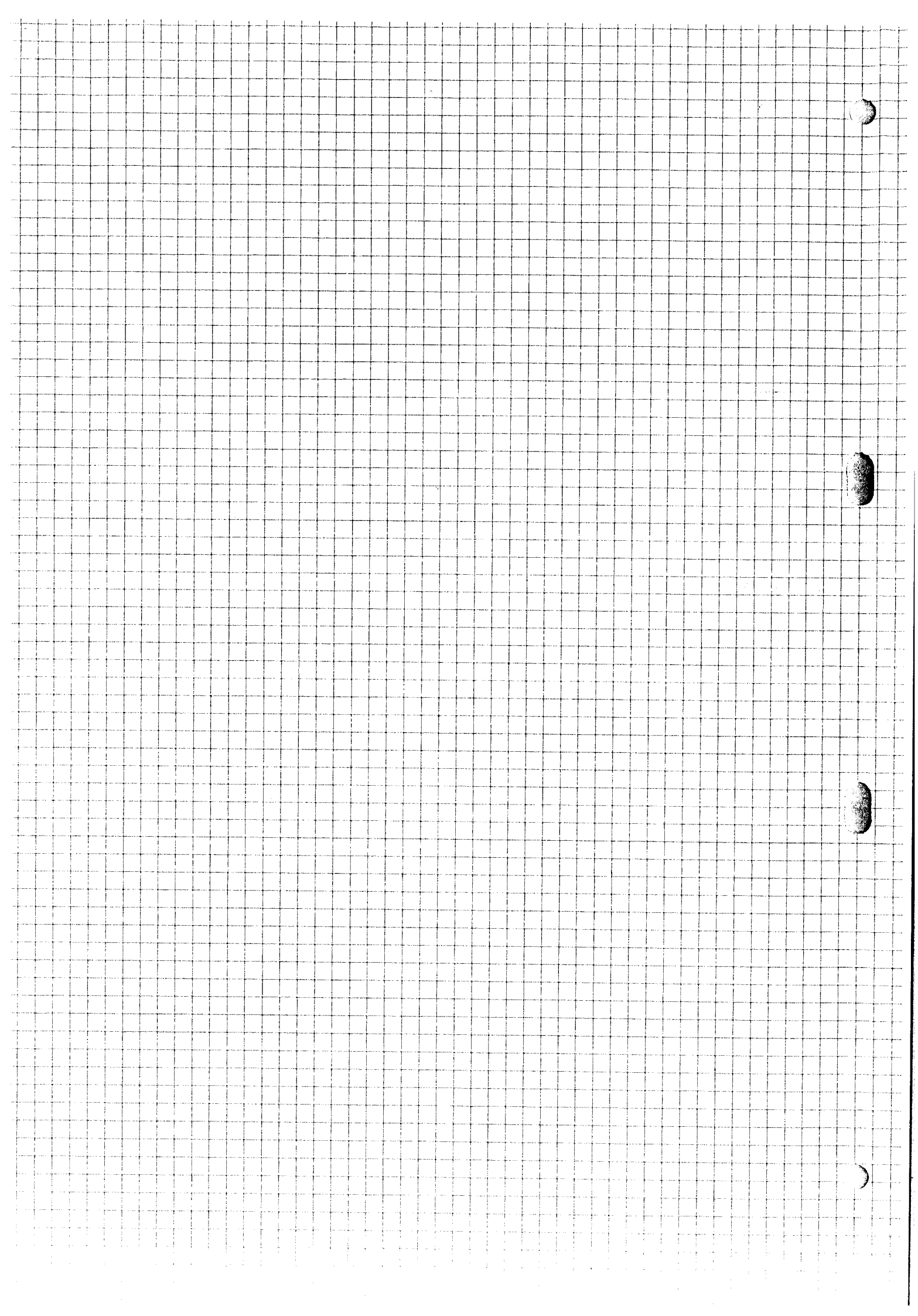
se modulo pump modulo l'au pot. laser emessa \Rightarrow posso ottenere modulaz. λ_{LASER}

$$\lambda(t) = \lambda_0 + \frac{\partial \lambda}{\partial I} \cdot \Delta I_{\text{BIAS}}(t) \quad \begin{aligned} &\text{dipend. da } \lambda \text{ o } I_{\text{BIAS}} (\text{cioè } I_{\text{PUMP}}) \\ &\text{e LINEARE A TRATTI.} \end{aligned}$$

$$\text{Se modulo } \Delta I_{\text{BIAS}} \rightarrow \Phi = 2ks_0 = \frac{4\pi s_0}{\lambda_0} \Rightarrow \Delta\Phi = -\frac{4\pi}{\lambda_0^2} \Delta\lambda(t) \cdot s_0.$$

Se $\Delta\lambda$ è abbastanza grande e l'au modulaz. è periodica, in I_{PH} si vedono frange ad ogni $\Delta\Phi = 2\pi$.

\Rightarrow HO MISURATO SO (DISTANZA ASSOLUTA)



INTERFEROMETRIA (V)

RIVELAZIONE DI ONDE GRAVITAZIONALE

PREMESSA

- ci sono 4 tipi di interazione in natura:

- FORTE $\alpha = 1$

- ELETTRONAUTICA $\alpha = 10^{-2}$

- ELETRODOPOLE $\alpha = 10^{-5}$

- GRAVITAZIONALE $\alpha = 10^{-39}$

- **TEORIA DELLA GRAVITAZIONE** (Newton) → interazione tra corpi anche nel vuoto, senza mediazione di un materiale.

- **TEORIA RELATIVITÀ GENERALE** (Einstein)

- interaz. gravitazionale non è più veloce della luce

- OG = onde gravitazionali: sono perturbazioni dello spazio-tempo con velocità c.

- una massa accelerata emette OG quali lezze in GRAVITONI (analogo di emissione di fotoni da una carica accelerata)

→ ESISTENZA delle OG DEMOSTRATA grazie al **NEUTRON BINARY SYSTEM** (stelle di neutroni confermano le previsioni della teoria della relatività generale)

MA OG difficili da osservare. → al passaggio di un'onda gravitaz. lo spazio tempo si curva e si espanda ritirandosi: misurare difficile da misurare perché i rilettori si muovono col moto parallelo allo spazio.



$$h = \frac{R_x - R_y}{R} \quad \text{AMPIZZA OG}$$

$$h = \frac{\Delta L}{L} = 10^{-23} \div 10^{-24}$$

ampliava (adimensionale) di un impulso in sviluppo dichiarato $1 \div 3 \text{ ms}$.

→ occorrono L grandi!

$$L = 3 \text{ Km} \Rightarrow \Delta L = 10^{-20} \div 10^{-18} \text{ m}$$

$$\Delta\phi = 10^{-13} \div 10^{-11} \text{ rad}$$

⇒ REQUISITI DI MISURA

- elevata sensibilità (P elevate)

- elevate stabilità (insensibilità a fluttuazioni ambientali)

KIVELA IKUKI:

- LIGO (Hawford e Livingston)
- TAMA 300 (Giappone)
- ALIGO (Australia)
- VIRGO

VIRGO

- Nd: Yag 20W a sorgente stretta
- interferometro binoculare $\rightarrow \text{NED} = 0$
- aumento della potenza con cavità di ricircolo ($\pm 1\text{ kW}$)
- bracci di cavità fabry - Perot: i bracci dell'interferometro vengono percorso molte volte avanti e indietro per aumentare $\Delta\phi$ da parita di ΔL ($M=50$) \rightarrow 50 giri in cavità
- specchi sospesi su superattenuatori (per vibrazioni sismiche)
- ruota del vuoto ($p=10^{-12}$ bar) (per fluttuazioni di pressione e/o inciai di rifrazione) riduce rumore di fondo.

Le cavità F-P vengono deformate dalle OA:

$$\Delta\nu_{\text{SP}} = 50 \text{ kHz} \quad \Delta\nu_0 = 1 \text{ kHz}$$

Lavoro sui minimi di trasmissione del F-P \Rightarrow FP facile

$$\Phi = \Phi_0 + \frac{1}{2} \Delta\phi (\pm) = \Phi_0 + \frac{1}{2} \cdot 2K \cdot \Delta L$$

$$R = 99,9999\%$$

suggerito $< 10\text{ mm}$

\Rightarrow si riveda $\left\{ \begin{array}{l} \Delta L \approx \frac{1}{1000} \text{ del diametro di un protone} \\ 7,6 \div 7,7 \cdot 10^{-15} \text{ m} \end{array} \right\}$

$$\Delta\phi \approx 10^{-3} \text{ rad}$$

controlla: L con precisione 10^{-13} m RMS

allineamento specchi con precisione di 10^{-8} rad

+ struttura per controllare rumore di vibraz. sismiche negli specchi.

NED vs frequenza = parametro fondamentale.

SENZORI IN FIBRA OTTICA →

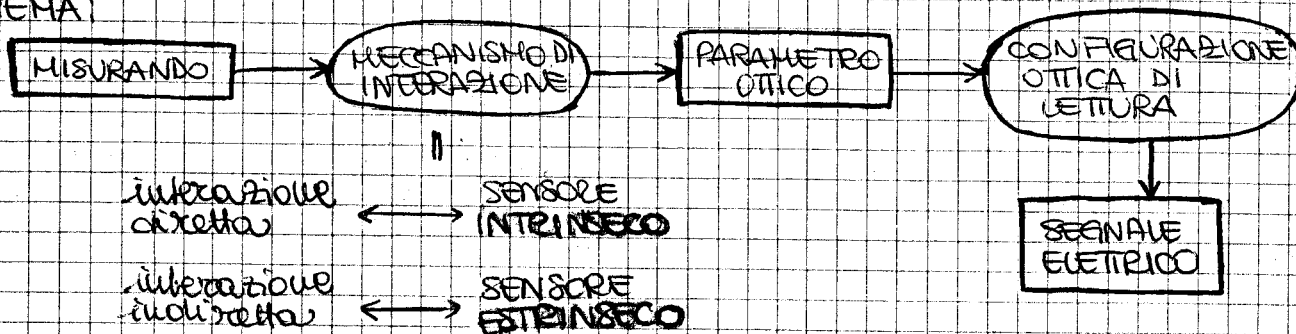
PARAMETRI CHE CARATTERIZZANO LA PROPAGAZIONE IN FIBRA
POSSONO ESSERE MODIFICATI DA PERTURBAZIONI ESTERNE

29

- solo applicazioni di ricchezza;
 - ambienti aggressivi per i sensori elettronici
 - elevate interferenze e.m.
 - misure non invasive
- no applicaz. su larga scala.

perturbazione = un segnale

SCHEMA:



- SCHEMA DI LETTURA DI INTENSITÀ → misurando = pot. ottica
→ fibra MULTIMODO
→ sorgente LED
- SCHEMA DI LETTURA POLARIMETRICO → misurando = stato di polarizzazione
→ fibra MONOMODO
→ sorgente LASER
- SCHEMA DI LETTURA INTERFEROMETRICO → misurando = fase ottica
→ fibra MONOMODO
→ sorgente LASER, DIODO SUPERLUMINE SCENTE

- MISURANDO MECCANICO:

- ESCENSIMETRO → effetto elesto-ottico (I)
- VIBROMETRO → accoppiamento evanescente (I)
- IDROFONO → attenuazione accoppiamento (E)

- MISURANDO TERMICO:

- TERMOMETRO → coeff. di temperatura dell'indice di rifr. (I)
→ coeff. di temperatura delle birefringenze (E)

- MISURANDO GRANDEZZA INERZIALE:

- GIROSCOPIO → effetto Sagnac (I)
- ACCELEROMETRO → forza generata da una massa (E)

- MISURANDO ELETROMAGNETICO:

- SENSORI DI CAMPO EL. → effetto Faraday (I) / effetto Pockels (I) / elettrostrazione (E)
- SENSORI DI CAMPO MAGN. → magnetostrizione (E)

MISURANDO CHIMICO:

- SENSORI DI PH, INQUINANTI, GAS \rightarrow fluorescenza (E) / reazione chimica (E)

SENSORI IN FIBRA

VANTAGGI

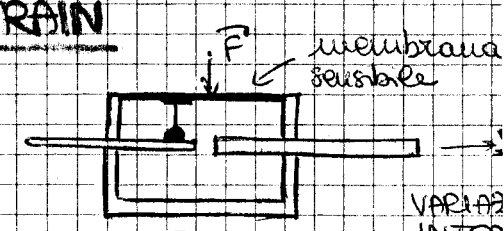
- struttura passiva; immunità a interferenze e.m. e agenti chimici
- tolleranza di radiazioni
- robustezza; immunità a distorsioni meccaniche
- buon insensitivo; funzionano senza controllo esterno
- sensibilità elevata.

Svantaggi

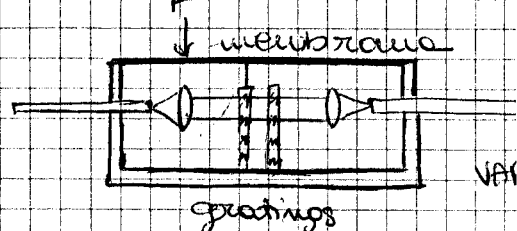
- complessità elevata (\times dovre buona sensibilità)
- modesta flessibilità e ricongiungibilità
- limitazioni in dinamica, sensibilità, posizionamento.
- applicazione di selettività (necessita di referenze isolate)

SENSORI DI STRAIN

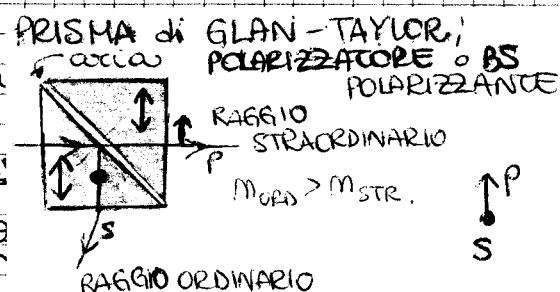
- LED + fibra MULTIM.



- LED + fibra MULTIM.

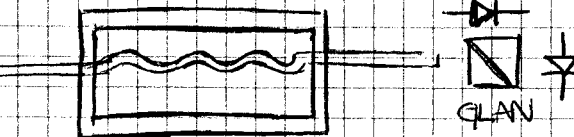


- LED + fibra MULTIM.



ASSI OTICI DEI CRYSTALLI // PIANO DI RIFLESSIONE
IL PRISMA RIFLETTE LA WAVE POLARIZZATA S E RIFLETTE LA WAVE POLARIZZATA P

- LASER DIODO + fibra MONOM.



VARIAZIONE DI INCENSI

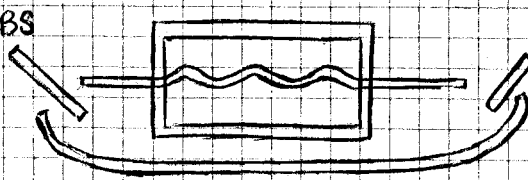
≈ 50



ANALISI DI POLARIZZAZIONE

≈ 100

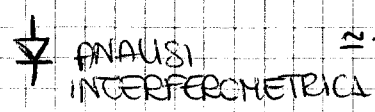
- LASER A DIODO + fibra MONOM.



ANALISI DI FASE (INTERFEROMETRIA)

≈ 500

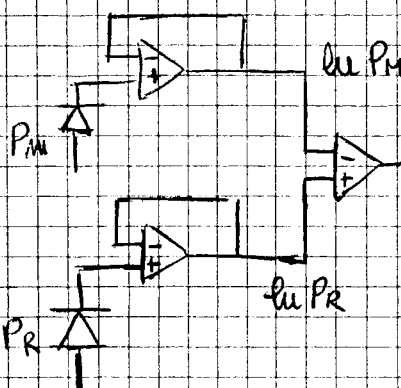
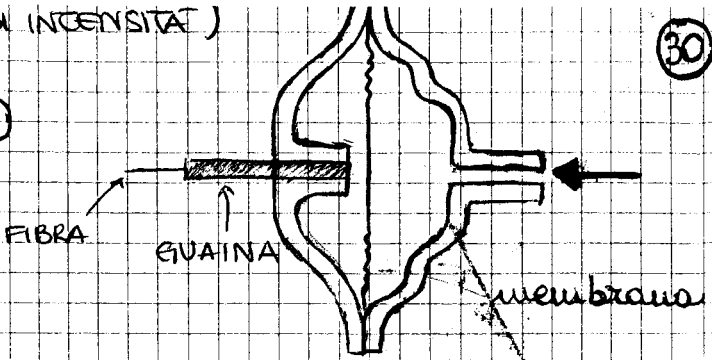
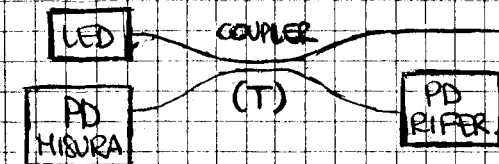
- LASER A DIODO + fibra MCNCM.



ANALISI INTERFEROMETRICA

≈ 1000

* SENSORE DI PRESSIONE (VETRINA DI INTENSITÀ)



$$\ln \left(\frac{P_m}{P_r} \right) = \ln (A)$$

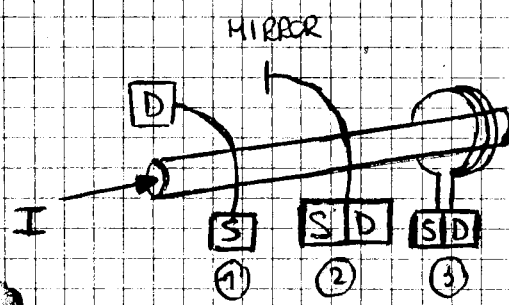
$$P_r = P_{LED} (1 - T)$$

$$P_m = P_{LED} AT^2$$

* SENSORE DI TEMPERATURA AD ASSORBIMENTO (VETRINA DI INTENSITÀ)

* SENSORE DI CORRENTE

→ EFFETTO FARADAY (rotazione angolo di polarizzazione in presenza di un campo magnetico).



$$\textcircled{1}, \textcircled{2} \quad \Psi = V \int H \cdot dt$$

ANGOLI ROTAZIONE POLARIZZAZ.

$$\textcircled{3} \quad \Psi = V \cdot N_f I$$

$V = \text{cost. di Verdet}$

$I = \text{corrente}$

$N_f = n^o \text{ spire fibra}$

→ BIFRANGENZA CIRCOLARE

$$\begin{aligned} & \text{IN} \rightarrow E_0 \text{ at } 45^\circ \\ & \cos^2(\theta) - \sin^2\theta = \\ & = \left(e^{i\theta} + e^{-i\theta} \right)^2 - \left(e^{i\theta} - e^{-i\theta} \right)^2 = \\ & \text{OT} = \frac{e^{2i\theta}}{4} + \frac{e^{-2i\theta}}{4} + \cancel{\frac{1}{2}} + \frac{e^{2i\theta}}{4} + \frac{e^{-2i\theta}}{4} + \\ & - \cancel{\frac{1}{2}} = \\ & = \frac{e^{2i\theta} + e^{-2i\theta}}{2} = \cos(2\theta) = \\ & = \cos(90^\circ + 2\Phi) = \sin(2\Phi) \end{aligned}$$



ELAN CUBE

$$E_1 = E_0 \cos(45 + \Psi)$$

$$E_2 = E_0 \sin(45 + \Psi)$$

$$I_1 \approx E_0^2 \cos^2(45 + \Psi)$$

$$I_2 \approx E_0^2 \sin^2(45 + \Psi)$$

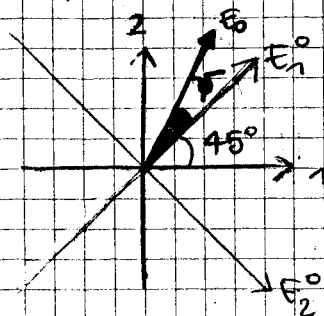
$$S = \frac{I_1 - I_2}{I_1 + I_2} \propto \sin(2\Phi)$$

30

→ BIRIFRANGENZA CIRCOLARE

analizzatore a 45°

oppure zicheimico assi di riferimento e analizzatore a 0° .



$$E_1^o = E_0 \cos \psi$$

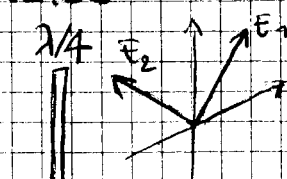
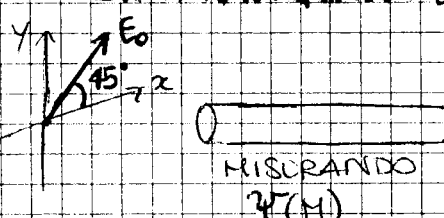
$$E_2^o = -E_0 \sin \psi$$

$$I_1^o \cong E_0^2 \cos^2 \psi$$

$$I_2^o \cong E_0^2 \sin^2 \psi$$

$$\Rightarrow S = \frac{I_1^o - I_2^o}{I_1^o + I_2^o} = \cos(2\psi)$$

→ BIRIFRANGENZA LINEARE



+ analizzatore
GLAN $\rightarrow I_1, I_2$
($45^\circ - 135^\circ$)

$$E_y = \frac{\sqrt{2}}{2} E_0 e^{i(45+\psi)}$$

$$E_1 = \frac{1}{2} E_0 (e^{i(45+\psi)} + e^{-i(45+\psi)}) = E_0 \cos(45+\psi)$$

$$E_x = \frac{\sqrt{2}}{2} E_0 e^{-i(45+\psi)}$$

$$E_2 = \frac{1}{2} E_0 (e^{i(45+\psi)} - e^{-i(45+\psi)}) = i E_0 \sin(45+\psi)$$

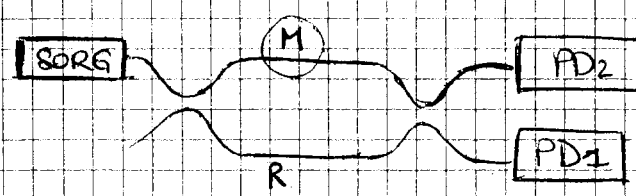
$$\Rightarrow I_1 \cong E_0^2 \cos^2(45+\psi)$$

$$I_2 \cong E_0^2 \sin^2(45+\psi) \Rightarrow S = \frac{I_1 - I_2}{I_1 + I_2} = -\sin(2\psi)$$

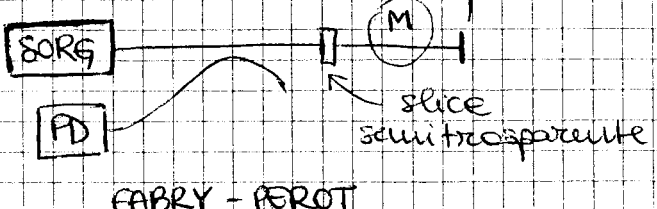
SCHEMI DI LETTURA INTERFEROMETRICA



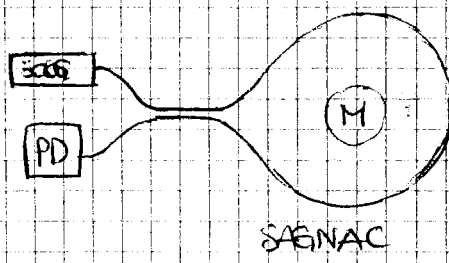
MICHELSON



MACH-ZEHNDER



FABRY-PEROT



SAGNAC

+ configurazioni multiplexed.